

# 地铁刚性接触网滑板磨损优化的试验研究

徐鸿燕<sup>1</sup> 王刘辉<sup>1</sup> 梅桂明<sup>2</sup> 陈光雄<sup>2</sup>

(1. 中铁第四勘察设计院集团有限公司, 430063, 武汉; 2. 西南交通大学牵引动力国家重点实验室, 610031, 成都//第一作者, 高级工程师)

**摘要** 为研究地铁刚性接触网滑板和接触线异常磨耗问题, 使用环-块式载流摩擦试验机。基于正交试验法, 对 4 种浸金属碳滑板和铜银合金接触线的电滑动磨损问题进行了多参数影响试验。研究了电流强度、滑动速度、法向力和滑板材料等参数对滑板的磨损量和温度的影响。正交试验结果表明, 直流电流是影响滑板磨损量和温度的最重要因素, 法向力的影响次之, 滑动速度的影响最弱。可以通过不同的浸金属碳滑板与铜银接触线的匹配来获得优化的地铁刚性接触网的耐磨性能。

**关键词** 地铁; 刚性接触网; 受电弓; 滑板; 磨损

**中图分类号** U225.6

DOI:10.16037/j.1007-869x.2022.04.038

## Experimental Study on Wear Optimization of Metro Rigid Pantograph-catenary System Contact Strips

XU Hongyan, WANG Liuhui, MEI Guiming, CHEN Guangxiong

**Abstract** In order to study the abnormal wear of contact strips and contact wires of metro rigid pantograph-catenary systems, a block-on-ring type current-carrying friction tester is used. Based on orthogonal test method, multi-parameter influence tests are conducted on four types of electric sliding wear of metal-impregnated carbon materials and copper-silver alloy contact wire. Effects of parameters including electric current strength, sliding speed, normal force, and materials of contact strips on the wear and temperature of the contact strips are investigated. The orthogonal test results show that direct current is the most important factor affecting the wear and temperature of contact strips, normal force the second, and sliding speed the weakest. The optimized wear resistance of metro rigid pantograph-catenary system can be obtained by matching different metal-impregnated carbon strips with the copper-silver contact wire.

**Key words** metro; rigid pantograph-catenary; pantograph; contact strip; wear

**First-author's address** China Railway Siyuan Survey and

Design Group Co., Ltd., 430063, Wuhan, China

自 2003 年我国建设第一条刚性接触网地铁线路以来, 刚性接触网因其具有载流量大、结构简单、接触线无张力、安装方便、占用空间小、无断线隐患、维修方便、综合建设费用和运营维护费用都比较低等诸多优点, 在我国地铁线路中得到了越来越广泛的应用。但多年来的应用实践也发现, 采用刚性接触网线路受电弓滑板和接触线的材料磨耗都比较严重<sup>[1-3]</sup>。研究人员对地铁刚性接触网的弓网异常磨耗原因进行了理论研究<sup>[4-6]</sup>, 但对地铁刚性接触网的弓网材料磨损试验研究则比较少见, 较多见的是干线高速铁路接触网弓网材料磨损的试验研究<sup>[7-8]</sup>。

本研究的目的是通过正交试验方法, 认识地铁刚性接触网弓网材料严重磨损的机理, 为优化弓网材料匹配和提高弓网材料使用寿命提供有益参考。

## 1 试验简介

### 1.1 试验设备

试验在西南交通大学牵引动力实验室载流摩擦磨损试验机上进行。试验机如图 1 所示, 它是一种块-环(转动盘)式试验机, 滑板安装在滑板座上, 接触线安装在直径 1 100 mm 转动盘的外圆周柱面上。采用变频电机驱动转动盘转动, 从而实现弓网摩擦副之间的水平相对滑动; 采用曲柄连杆机构驱动滑板座做垂直方向的往复运动, 从而实现弓网摩擦副之间的“之”字形相对运动。摩擦副之间的法向力采用砝码加载, 法向力为 0~300 N, 试验速度为 0~200 km/h, 试验电流为 DC 0~600 A, 受电弓和接触线之间“之”字形相对运动幅值和频率分别为 55 mm 和 0~3 Hz。

### 1.2 试件制备

目前, 在地铁刚性接触网中: 接触线材料普遍

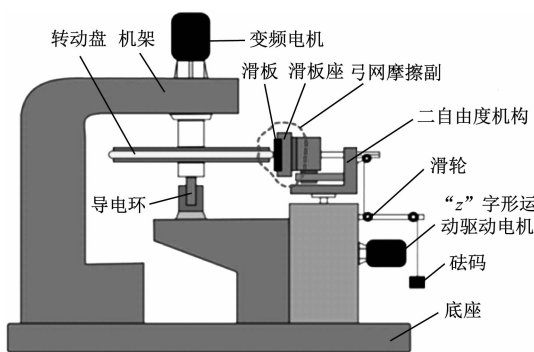


图 1 载流摩擦试验机简图

Fig. 1 Schematic diagram of the current-carrying friction tester

为国产的铜银合金接触线;滑板材料大多数都是浸金属碳,且国内外厂家的产品都有应用。本研究选取2种国产滑板(分别记为A、B滑板)和2种进口滑板(分别记为C、D滑板)进行对比试验,滑板材料的物理参数见表1。铜银合金接触线试样的横截面与地铁接触线的横截面相同,该试样固定在试验机转动盘外圆柱面的整个圆周上。滑板试样使用地铁在用的材料,试样的宽度与实际滑板的宽度一致。滑板A、B、C、D的宽度尺寸分别为35 mm、34 mm、33 mm、34 mm。将滑板加工成长度120 mm的试样块,安装在试验机的滑板座上。

表 1 滑板材料的物理参数

Tab. 1 Physical parameters of contact strips

物理参数	滑板 A	滑板 B	滑板 C	滑板 D
体积质量/(g/cm <sup>3</sup> )	2.3	2.06	2.9	2.34
肖氏硬度	102	85	96	108

### 1.3 试验数据测量设备

试验时,使用精度为0.1 mg的电子天平来测量滑板的磨损量,使用热成像仪测量滑板的温度。由于接触线的磨损低微,况且接触线是固定在试验机转动盘外圆柱面上,拆装困难,因此本研究不测量接触线的磨损。

### 1.4 试验参数和试验方案

本研究试验电流为DC 200~400 A,滑动速度为60~120 km/h,法向力为15~40 N,弓网“之”字形相对运动的幅值和频率分别为55 mm和0.15 Hz,弓网切向相对滑动距离为100 km。

由于试验工作十分耗时,故选定三因素(法向力、电流、滑动速度)四水平设计正交试验方案,试验工况见表2。为了分析各个因素对试验结果的影

响,需对正交试验结果进行极差分析。

$$M_{ij} = \frac{p}{n} \left( \sum_{k=1}^{n/p} y_{ij,k} \right) \quad (1)$$

$$R_j = \max(M_{ij}) - \min(M_{ij}) \quad (2)$$

式中:

$p$ —水平个数;

$n$ —试验次数;

$y_{ij,k}$ —因素j第*i*水平的试验结果, $k=1, 2, \dots, n/p$ ;本试验中*n/p*为整数;

$M_{ij}$ —因素j中所有第*i*水平的试验结果平均值;

$R_j$ —因素j的极差。

极差分析可以分析出因素j对试验结果的影响程度。在正交试验中, $R_j$ 值的大小和因素j对试验结果的影响程度呈正相关关系。

表 2 正交试验方案

Tab. 2 Orthogonal test plan

工况	法向力/N	电流/A	速度/(km/h)
1	15	200	60
2	15	300	80
3	15	350	100
4	15	400	120
5	20	200	80
6	20	300	60
7	20	350	120
8	20	400	100
9	30	200	100
10	30	300	120
11	30	350	60
12	30	400	80
13	40	200	120
14	40	300	100
15	40	350	80
16	40	400	60

## 2 试验结果及分析

### 2.1 4种滑板磨耗的正交试验结果

在载流滑动过程中4种滑板磨耗的正交试验结果见表3所示。正交试验的工况具有代表性,可以反映各因素各水平对滑板磨损量的影响。图2显示了4种滑板磨损量的比较,可以看出滑板D的耐磨性最好,滑板A的耐磨性次之,滑板C的耐磨性再

次之,滑板B的耐磨损性最差。图2中,工况4、8、12、16对应的电流均为DC 400 A,相应的磨损量都比较高,说明电流对滑板磨损量影响比较大。图3为工况1下1组滑板的磨痕形貌,可以看出滑板D的磨损最小。

表3 滑板磨耗的正交试验结果

Tab. 3 Result of contact strip wear orthogonal test

工况	滑板A	滑板B	滑板C	滑板D
	磨损量/mm <sup>3</sup>	磨损量/mm <sup>3</sup>	磨损量/mm <sup>3</sup>	磨损量/mm <sup>3</sup>
1	112	120	390	56
2	365	81	540	95
3	216	487	317	143
4	317	1 733	841	562
5	275	35	125	53
6	231	77	266	39
7	212	166	226	8
8	403	1 401	532	140
9	196	16	69	17
10	108	32	198	107
11	607	83	379	109
12	742	2 314	911	360
13	41	25	52	18
14	75	94	66	24
15	206	205	109	52
16	503	1 818	123	275

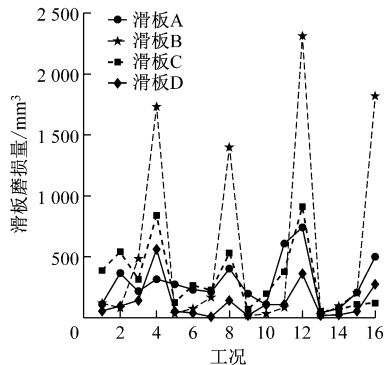


图2 4种滑板磨损量的比较

Fig. 2 Comparison of the wear volumes of four types of contact strips

4种滑板载流滑动摩擦正交试验磨损量的极差分析结果见表4所示。由表4可见,不同滑板材料磨损量试验 $R_j$ 最大值对应的都是电流因素,也就是说直流电流是影响刚性接触网滑板材料磨损最重要的因素。此外,滑动速度是影响滑板A磨损量的次要因素,法向力是影响滑板B、C、D磨损量的次要因素。由表3还可看出,滑动速度对滑板B、C、D

的磨损量的影响最弱。实际的地铁线路中,列车运行速度(即滑板的滑动速度)和弓网电流是不能随意变化的,因此可以通过控制弓网之间的法向力来尽量降低滑板的磨耗。滑板磨损量最优化参数一般通过极差分析确定,限于篇幅,这里不作详细讨论。从表4可粗略看出,滑板A耐磨损性最优的工况是法向力30 N、电流200 A和滑动速度120 km/h;滑板B耐磨损性最优的工况是法向力25 N、电流200 A和滑动速度100 km/h;滑板C耐磨损性最优的工况是法向力30 N、电流200 A和滑动速度120 km/h;滑板D耐磨损性最优的工况是法向力20 N、电流350 A和滑动速度120 km/h。

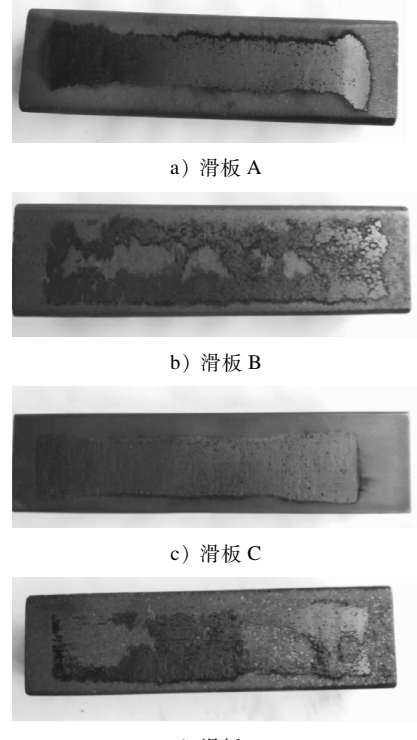


图3 工况1下4种滑板的磨痕形貌

Fig. 3 Scar topography of four types of contact strips under working condition 1

表4 滑板磨损的极差分析结果

Tab. 4 Result of contact strip wear range analysis

滑板种类	磨损量试验的 $R_j/\text{mm}^2$		
	$j=1$ (法向力)	$j=2$ (电流)	$j=3$ (滑动速度)
滑板A	207.0	335.3	227.5
滑板B	191.5	1 767.5	169.8
滑板C	434.5	442.8	175.3
滑板D	154.0	298.3	92.8

## 2.2 4 种滑板温度的正交试验结果

在载流滑动过程中,4 种滑板温度的正交试验结果见表 5。由图 4 可见,在相同工况下滑板 C 的温度最低,滑板 D 的温度次之,滑板 A 和滑板 B 的温度最高。比较图 3 和图 4 可以看出:滑板 D 的磨损量最低,其温度也比较低,因而这种滑板材料的使用性能是比较好的;滑板 A 的耐磨性仅次于滑板 D,但其温度却是最高之一,显然其综合性能比滑板 D 差些;滑板 B 的耐磨性和温度性能都最差。

表 5 滑板温度正交试验的结果

Tab. 5 Result of contact strip temperature orthogonal test

工况	滑板 A 温度/℃	滑板 B 温度/℃	滑板 C 温度/℃	滑板 D 温度/℃
1	175	184	163	125
2	328	222	145	200
3	425	286	269	246
4	270	423	199	249
5	266	166	91	93
6	328	222	198	198
7	448	274	209	278
8	431	383	270	243
9	236	160	90	221
10	250	265	145	125
11	436	397	197	295
12	466	489	211	231
13	122	216	105	266
14	258	226	166	285
15	300	297	236	289
16	285	412	314	334

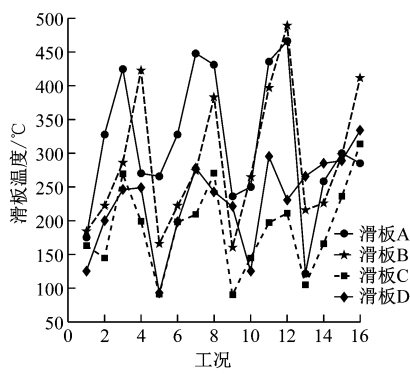


图 4 4 种滑板温度的比较

Fig. 4 Comparison of the temperatures of four types of contact strips

4 种滑板温度试验的极差分析结果见表 6, 可以看出 4 种滑板温度试验的  $R_j$  最大值均对应电流因素, 即弓网通过电流对滑板温度的影响最大。

表 6 滑板温度的极差分析结果

Tab. 6 Result of contact strip temperature range analysis

滑板种类	温度试验的 $R_j/^\circ\text{C}$		
	$j=1$ (法向力)	$j=2$ (电流)	$j=3$ (滑动速度)
滑板 A	127.0	202.5	67.5
滑板 B	66.5	245.3	40.0
滑板 C	44.5	136.3	53.5
滑板 D	120.7	134.3	60.7

## 3 结语

本文基于正交试验法试验研究了 4 种浸金属碳滑板材料与铜银合金接触线在直流电流下的滑板磨损性能和温度变化, 得到如下结论:

- 1) 直流电流是影响滑板耐磨损性和温度的最重要因素, 弓网之间的法向力对滑板耐磨损性的影响次之, 滑动速度对滑板耐磨损性的影响最弱。
- 2) 不同的浸金属碳滑板与铜银合金接触线配对时, 其电滑动摩擦引起的滑板磨损量差别比较大, 可以通过正交试验方法进行多方案比较以获得优化的滑板耐磨损性能。
- 3) 弓网之间的法向力对滑板耐磨损性的影响仅次于电流的影响, 但并非法向力越大就越好。

## 参考文献

- [1] 艾东兵. 城市轨道交通刚性接触网拉出值优化 [J]. 城市轨道交通研究, 2018(7): 50.  
AI Dongbing. Optimization of the rigid overhead contact system stagger in urban rail transit [J]. Urban Mass Transit, 2018(7): 50.
- [2] 白凯元. 刚性接触网拉出值布置与磨耗分析 [J]. 城市轨道交通研究, 2017(6): 149.  
BAI Kaiyuan. Analysis of rigid catenary stagger layout and wear [J]. Urban Mass Transit, 2017(6): 149.
- [3] 蒋灵君. 刚性接触网线路车辆碳滑板异常磨耗分析 [J]. 现代城市轨道交通, 2011(3): 43.  
JIANG Lingjun. Analysis of the abnormal wear of rigid catenary system vehicle pantograph strips [J]. Modern Urban Rail Transit, 2011(3): 43.
- [4] 王剑. 地铁刚性接触悬挂弓网磨耗问题研究 [J]. 都市快轨交通, 2012(4): 59.  
WANG Jian. Discussion on pantograph-catenary abrasion of metro rigid overhead catenary system [J]. Urban Rapid Rail Transit, 2012(4): 59.
- [5] 陈显志, 陈建君, 杨波. 减小架空刚性悬挂接触网弓网磨耗的措施 [J]. 现代城市轨道交通, 2013(1): 21.  
CHEN Xianzhi, CHEN Jianjun, YANG Bo. Measures on reducing wear of pantograph and contact wire of overhead rigid suspension catenary [J]. Modern Urban Rail Transit, 2013(1): 21.

(下转第 185 页)